

II-27 開水路急縮部の水理学的性状に関する研究

(とくに、はく離領域の形状について)

京都大学工学部 正員 工博 石原藤次郎

京都大学大学院 学生員 工修 志方俊之

水資源開発公团 正員 工修 河合恂二

(1) 緒言 本報告は急縮部の水理学的性状を明らかにするため、第一段階として、とくに急縮部下流に形成されるはく離領域の形状と大きさに関するて、自由流線からの噴流拡散、および二次元噴流に対する下流側水路側壁のCoanda効果を考えて解析を行ない、さらに実験的に検討を加えたものである。

(2) 自由流線を用いた取り扱い これは噴流が自由流線上の各点から一定の噴出角で採取して混合領域を生じ、その内縁の包絡線がはく離領域の境界にならうという芦田博士の考え方を用い、急縮部下流のはく離領域の形状を求めるようとするものである。著者らは急縮部の流れの基本として、図-1に示すような一定の水路幅縮小比をもつ急縮部からの自由流線を考え、それからの混合領域内縁の包絡線を求めた。自由流線は

$$\left. \begin{aligned} x &= \frac{u}{2\pi} \left[\log \frac{1+\cos\theta}{1-\cos\theta} - \frac{1}{2} \left(\frac{1-u}{u} - u \right) \log \frac{1+u^2+2u\cos\theta}{1+u^2-2u\cos\theta} \right] \\ y &= \frac{u}{2\pi} \left(\frac{1-u}{u} - u \right) \left[\tan^{-1} \frac{2u}{1-u^2} - \tan^{-1} \left(\frac{2u}{1-u^2} \sin\theta \right) \right] \end{aligned} \right\} (\theta = 0 \sim \frac{\pi}{2}) \quad (1)$$

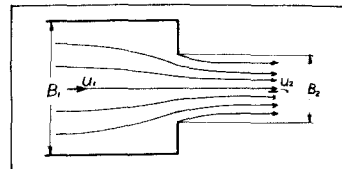


図-1

によって与えられる。ここに、 u は図-1において $u_2=1$ としたときの u の値で、水路幅縮小比 B_2/B_1 との関係はつきのようである。

$$B_2 = \frac{B_2}{B_1} = 1 - \frac{U_1}{U_2} - \frac{2}{\pi} \left\{ 1 - \left(\frac{U_1}{U_2} \right)^2 \right\} \tan^{-1} \frac{U_1}{U_2} \quad (2)$$

(1)式に対する混合領域の内縁は、噴出角を α として(3)式で与えられ、その包絡線は $\frac{dy}{d\theta} = 0$ を満足する (x_i, y_i) 座標として(4)式のようになる。

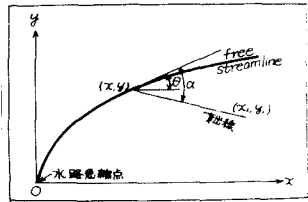


図-2

$$\frac{y_i - y}{x_i - x} = \tan(\theta - \alpha) \quad (3)$$

$$\left. \begin{aligned} x_i &= x + \frac{u(1-u^2)^2 \sin\alpha \cos(\theta-\alpha) \cot\theta}{\pi \{(1+u^2)^2 - 4u^2 \cos^2\theta\}} \\ y_i &= y + \frac{u(1-u^2)^2 \sin\alpha \sin(\theta-\alpha) \cot\theta}{\pi \{(1+u^2)^2 - 4u^2 \cos^2\theta\}} \end{aligned} \right\} (\theta = 0 \sim \frac{\pi}{2}) \quad (4)$$

(3) 下流側水路によるCoanda効果

上に述べた解析法は下流側水路側壁の存在を無視したものであるが、実際の流れでは下流側水路側壁は、はく離領域の cavity 効果によって流れを壁面に引き寄せ、せき働き (Coanda効果) をもっている。そこで著者らは、急縮部の流れに対して、ある角度 α と幅 L をもって下流側水路に放出される二次元噴流を考える図-3のような流れのモデルを用い、この噴流と下流側水路側壁との間に形成される cavity zone を求めることによって、はく離領域の長さを決定することを試みた。解析にあたっては、つきのような仮定を行なう。(1) 流線の写真撮影によつて得られた結果から、流れは O_2 点を中心とする円弧 AC 上では、流速が一定で、流向は O_2 点に向かうものと考える。ただし α, L は

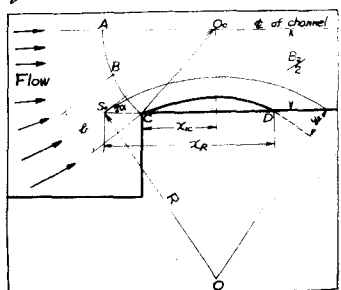


図-3

(5) 式で与えられる。

$$\alpha = \frac{3}{4} \tan^{-1} \left(\frac{2X_c}{B_2} \right), \quad \theta = B_2 \sin \alpha / \cosec \frac{\pi}{2} \alpha \quad (5)$$

(2) はく離領域内の水深および主流の水深は一定で、それとすれば θ とする。(3) 噴流の流速分布は Görtler の解を用いる。

Newman の方法を用いて、後流によってはく離領域に補給される運動量を考慮した約合の条件および遠心力と圧力差との約合の条件を求めると、下流側はく離領域の長さ X_c および主流とはく離領域との圧力差は (6) および (7) 式で与えられる。

$$\frac{X_c}{\theta} = \frac{2}{3} \frac{1}{\alpha} \left(\frac{1}{t_1} - 1 \right) \sin \alpha - \frac{\tanh^2 t_2}{3 t_2^2 \sin \alpha} \quad (6)$$

$$\frac{R_o - R_i}{\frac{U_o^2}{2g}} = \frac{6\alpha}{\sigma \left(\frac{1}{t_2} - 1 \right)} \quad (7)$$

ここに、 σ : spread parameter, U_o : 噴出口における噴流の平均流速, t_1, t_2 : α によって定まる常数
ここで問題になるのは σ の値であり、これは実験的に求めらる必要がある。

(4) 実験および考察 実験水路は幅 30 cm および 15 cm, ニュードル数 1/500, 長さ 14 m で、中央に急縮部を設けた。(i) 自由流線上からの噴流の噴出角として Tollmien が二次元噴流に対して求めた実測値 110° を用いて、自由流線および混合領域内縁の包絡線を求める。実験から得られた結果とを比較すると図-4 のようである。図-4において、I は半無限境界における流出口からの自由流線、II および IIe はそれぞれ I および II に対応する包絡線である。また破線は本実験における写真撮影によって得たはく離領域の形状である。図-4 によつて明らかなるように、実際に形成されるはく離領域は (1) ～ (4) 式によって求めたものよりも小さい結果を与える。これは前にも述べたように、下流側水路側壁による Coanda 効果を考慮に入れていないことに原因していると考えられる。また、噴流の拡散角 θ が下流方向に増大していくこと、すなわち spread parameter σ が減少する事実を示している。

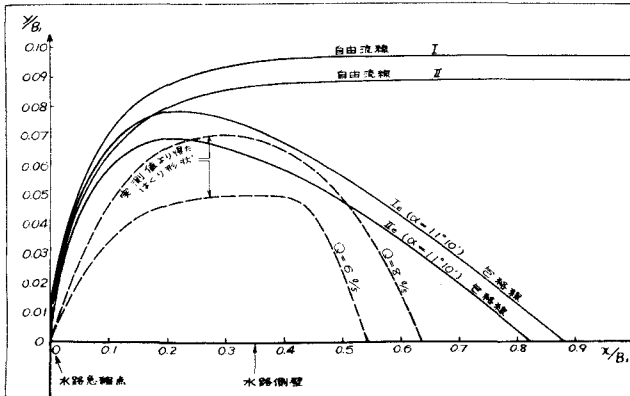


図-4

よりも小さい結果を与える。これは前にも述べたように、下流側水路側壁による Coanda 効果を考慮に入れていないことに原因していると考えられる。また、噴流の拡散角 θ が下流方向に増大していくこと、すなわち spread parameter σ が減少する事実を示している。

(ii) 図-3 における X_c として、便宜的に包絡線 IIe の極大点の x 座標を用い、図-3 に示した流れのモデルの幾何学的条件 (5) 式から α および θ を求めた。 t_1 および t_2 を実験によって測定し、(6) および (7) 式から σ を求めると、 $\sigma = 7.62 \sim 10.33$ となり Reichardt の実験値 7.67 より大きい値となつた。図-5 に示した Newman の実験値は、さらに大きい σ の値を示している。これは流れのモデル化にともなう多くの仮定によるところは、もちろんあるが、Sawyer はこの種の実験において σ の値が plane jet のものと大きく異なることを指摘して、 σ を単なる実験常数と考えている。この取り扱いには、上に述べたような大きな仮定が用いられており、今後はこれらの点を改良して実際の流れに適した解析法を検討していく予定である。

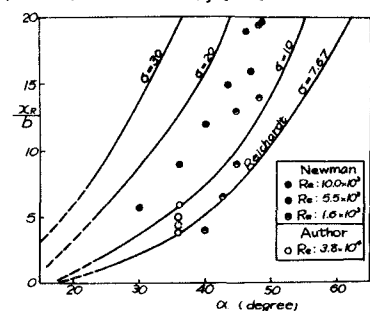


図-5